

# IFT3355: Infographie

## Textures et aliassage

© Pierre Poulin, Derek Nowrouzezahrai

Dép. I.R.O.

Université de Montréal

# Textures

- Pour simuler la complexité des détails sur une surface, on peut augmenter le nombre de polygones (micro-polygones) définissant la surface
- Cependant, il en résulte une augmentation de la complexité de la modélisation (taille de l'objet, coût de génération, etc.) et du rendu (visibilité, *scanconversion*, illumination, etc.)

# Textures

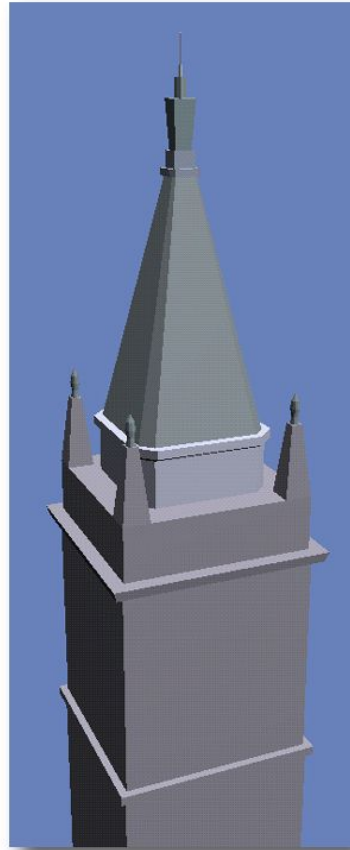
- On peut simuler l'effet visuel de ces détails en apposant une *texture* sur la surface tel du papier peint sur une surface
- Cette texture peut être apposée sur différents objets
- On laisse alors le traitement des détails au processus de *shading* dans le *pipeline* graphique
- Il devient aussi possible de mieux *filtrer* les effets de ces détails au niveau de qualité désiré dans l'image
- Hardware efficace pour les polygones texturés

# Modeling and Rendering Architecture from Photographs

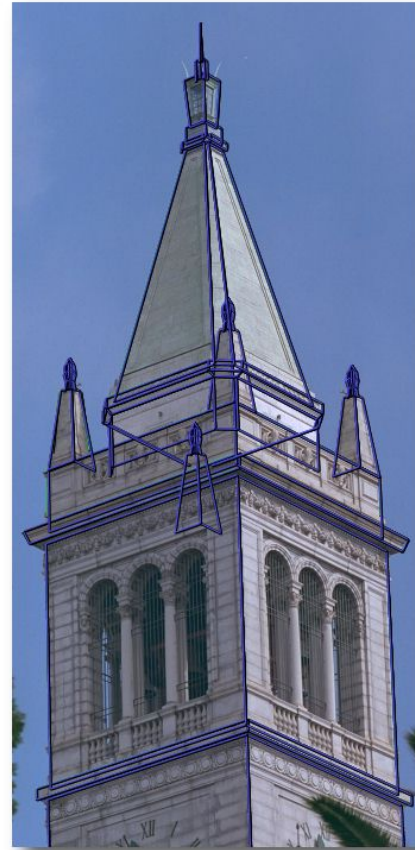
Debevec, Taylor, and Malik 1996



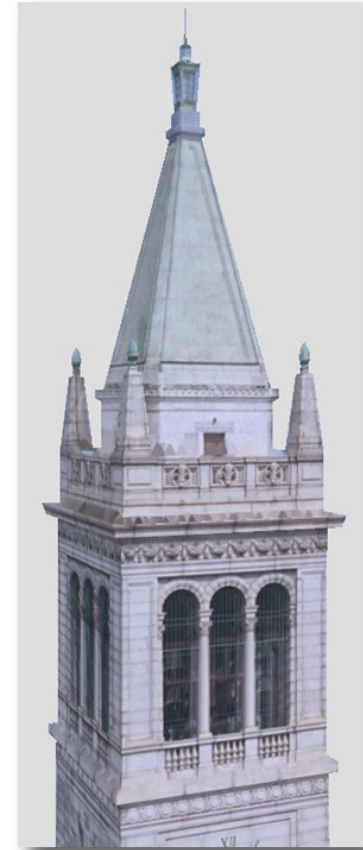
Original photograph with marked edges



Recovered model



Model edges projected onto photograph



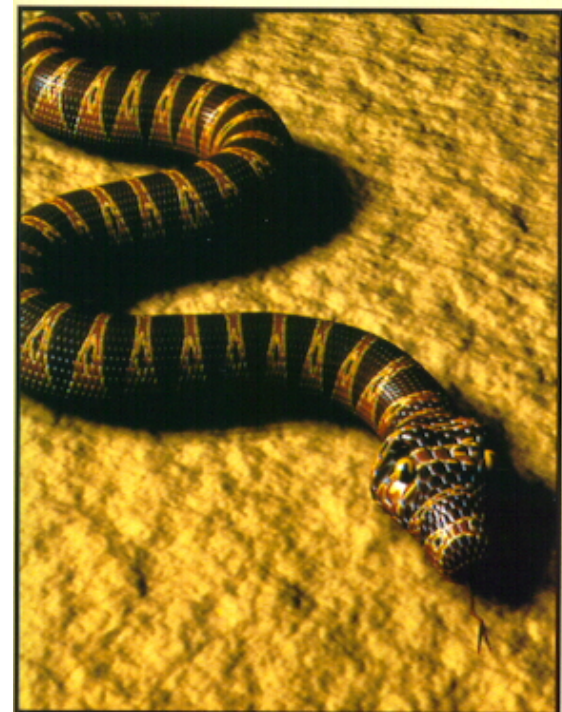
Synthetic rendering

# Applications de textures

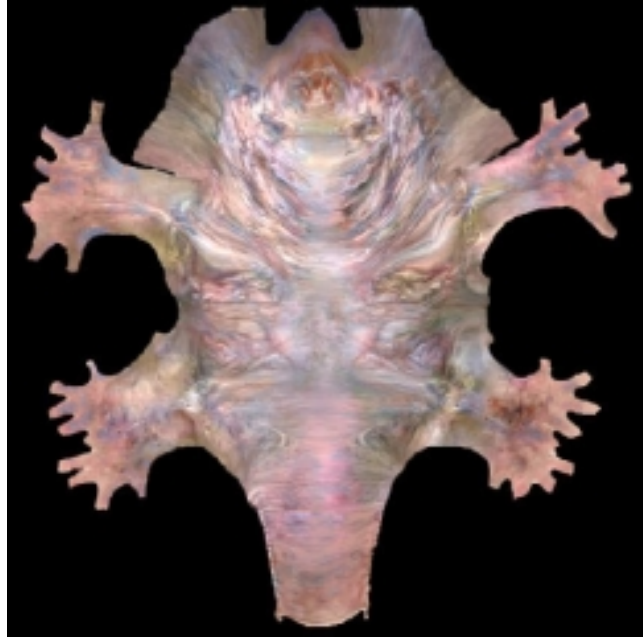
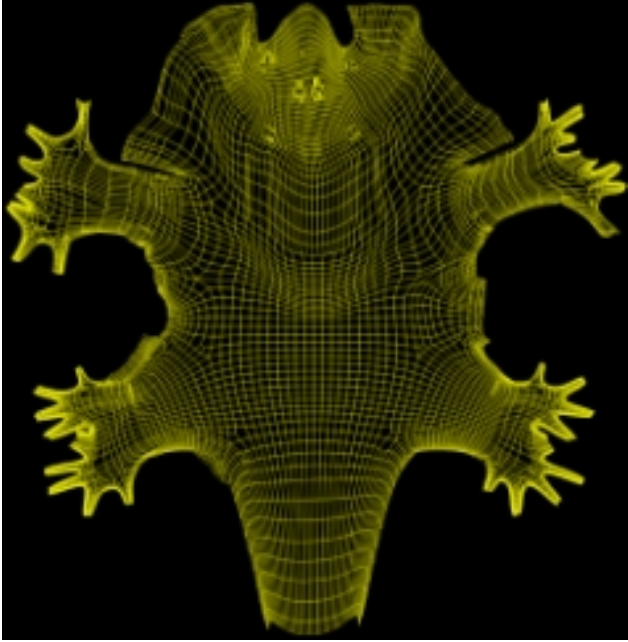
Une texture peut altérer plusieurs propriétés de surface:

- couleur
  - image digitale, motif (quadrillé), procédure (marbre)
- normale (*bump map*)
- géométrie (*displacement map*)
- réflexion (*environment map*)
- illumination (*light map* ou *photon map*)
- transparence
- etc.

# Exemples de textures

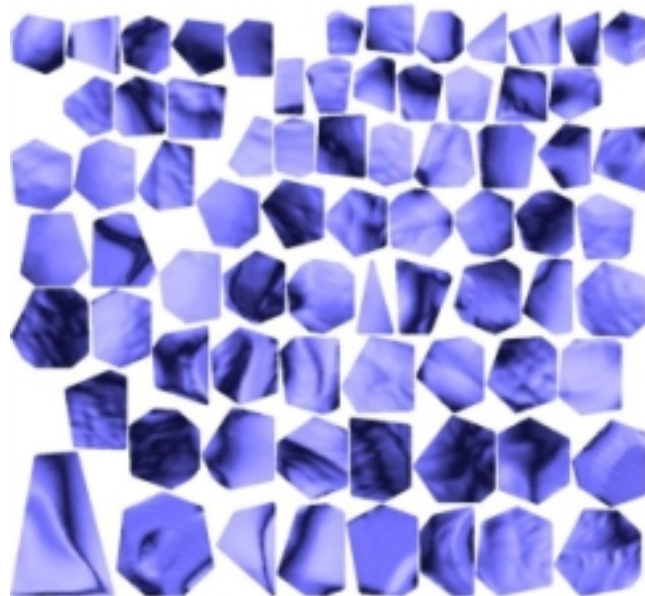
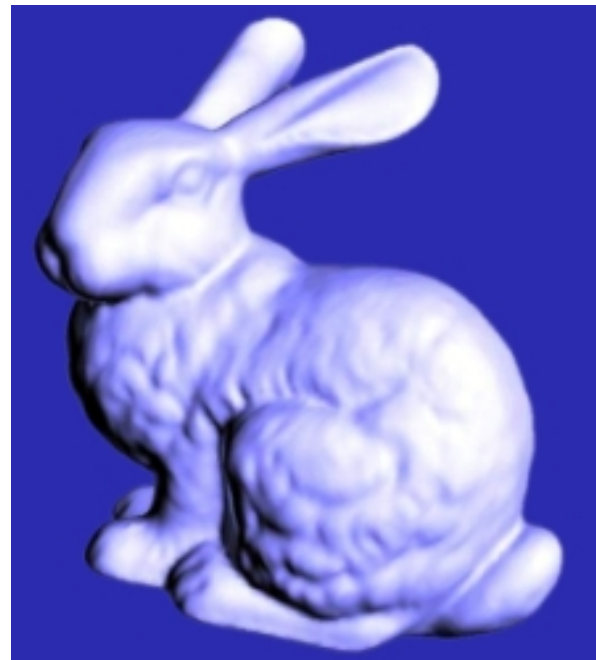


Miller





Atlas de texture



# Définitions

- *Texture mapping*

technique consistant à appliquer une texture sur une surface

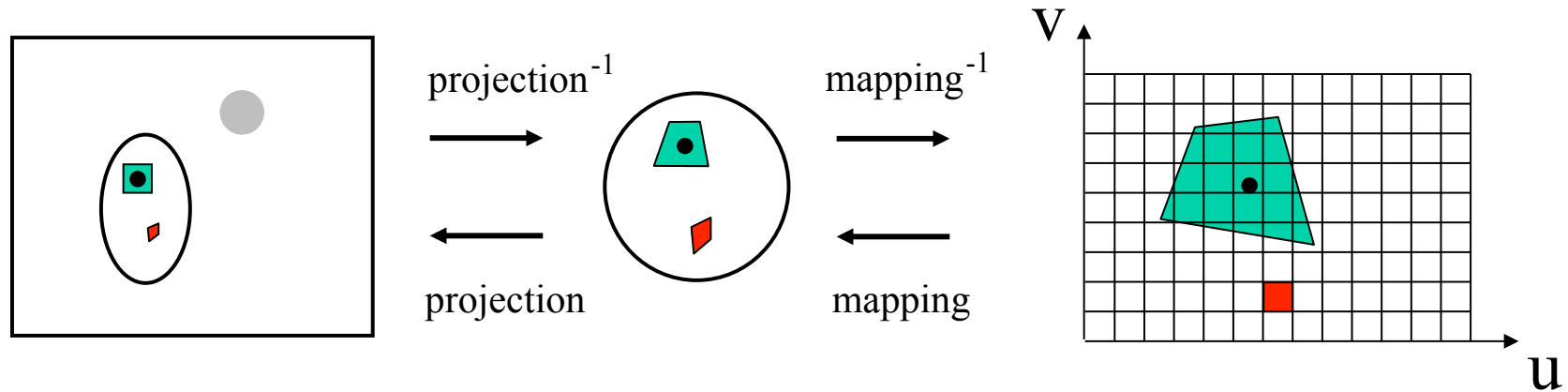
- *Texture map*

texture apposée sur la surface

- *Texel*

élément de base d'une texture, analogue au pixel d'une image

# Texture mapping



Espace image

Espace objet

Espace texture

pixel de l'image

projection du pixel  
sur la surface 3D

texels couverts  
par le pixel

Note: discontinuité de visibilité, contours courbes

# Contribution de la texture au pixel

texel  $\longrightarrow$  pixel

- + tous les texels sont traités dans l'ordre (cohérence)
- texel ne recouvre pas nécessairement tout un pixel. Il faut alors calculer la proportion du pixel couvert par le texel
- plus simple, mais la contribution de tout texel caché est calculée inutilement

# Contribution de la texture au pixel

pixel  $\longrightarrow$  texel

- + seulement les pixels visibles sont traités
- il faut calculer la projection inverse du pixel en espace objet, et puis les coordonnées correspondantes en espace texture
- plus complexe, mais orienté vers le traitement du *pipeline* conventionnel qui procède pixel par pixel

# Mappings

- Il faut identifier une fonction (*mapping*) qui permet d'associer un texel à un point de la surface
- On ne traite pas de point-à-point mais plutôt d'aire-à-aire, ce qui crée des problèmes d'aliassage
- Souvent on veut passer d'un rectangle à une surface 3D arbitraire
- Une fonction de mapping est souvent complexe et souffre de propriétés indésirables
  - distorsion des formes et des distances

# Mappings

- Souvent un *mapping 1-to-1* est préférable
- Obtenir le *mapping* désiré n'est cependant pas une tâche facile, et il y a même des topologies qui ne permettent pas d'atteindre le but désiré

## Mappings par une fonction intermédiaire

- Il existe plusieurs fonctions de défaut:
  - coordonnées cylindriques
  - coordonnées sphériques
  - coordonnées de projection
- La position de l'objet par rapport à la fonction intermédiaire définit le *mapping* et donc l'apparance de la texture sur l'objet

## Mapping d'un rectangle à un cylindre

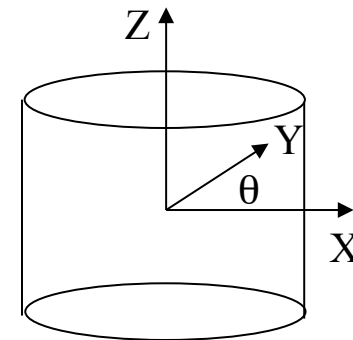
$$0 \leq \theta \leq 2\pi$$

$$-1 \leq h \leq 1$$

$$x = r \cos \theta$$

$$y = r \sin \theta$$

$$z = h$$



$$0 \leq \frac{\theta}{2\pi} \leq 1$$

$$0 \leq \frac{z+1}{2} \leq 1$$

$$u = \begin{cases} \frac{\arccos(x/r)}{2\pi} & \text{si } y > 0 \\ 1 - \frac{\arccos(x/r)}{2\pi} & \text{si } y < 0 \end{cases}$$

$$v = \frac{z+1}{2}$$

ou encore

$$u = \tan^{-1}(y/x)$$

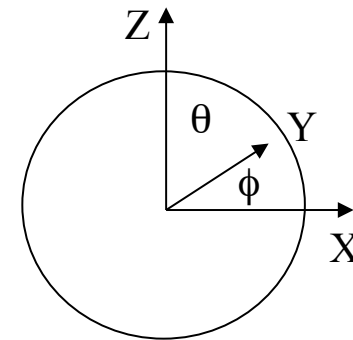
$$v = \frac{z+1}{2}$$

# Mapping d'un rectangle à une sphère

$$0 \leq \phi \leq 2\pi \quad x = r \sin \theta \cos \phi$$

$$0 \leq \theta \leq \pi \quad y = r \sin \theta \sin \phi$$

$$z = r \cos \theta$$



$$0 \leq \frac{\phi}{2\pi} \leq 1$$

$$0 \leq \frac{\theta}{\pi} \leq 1$$

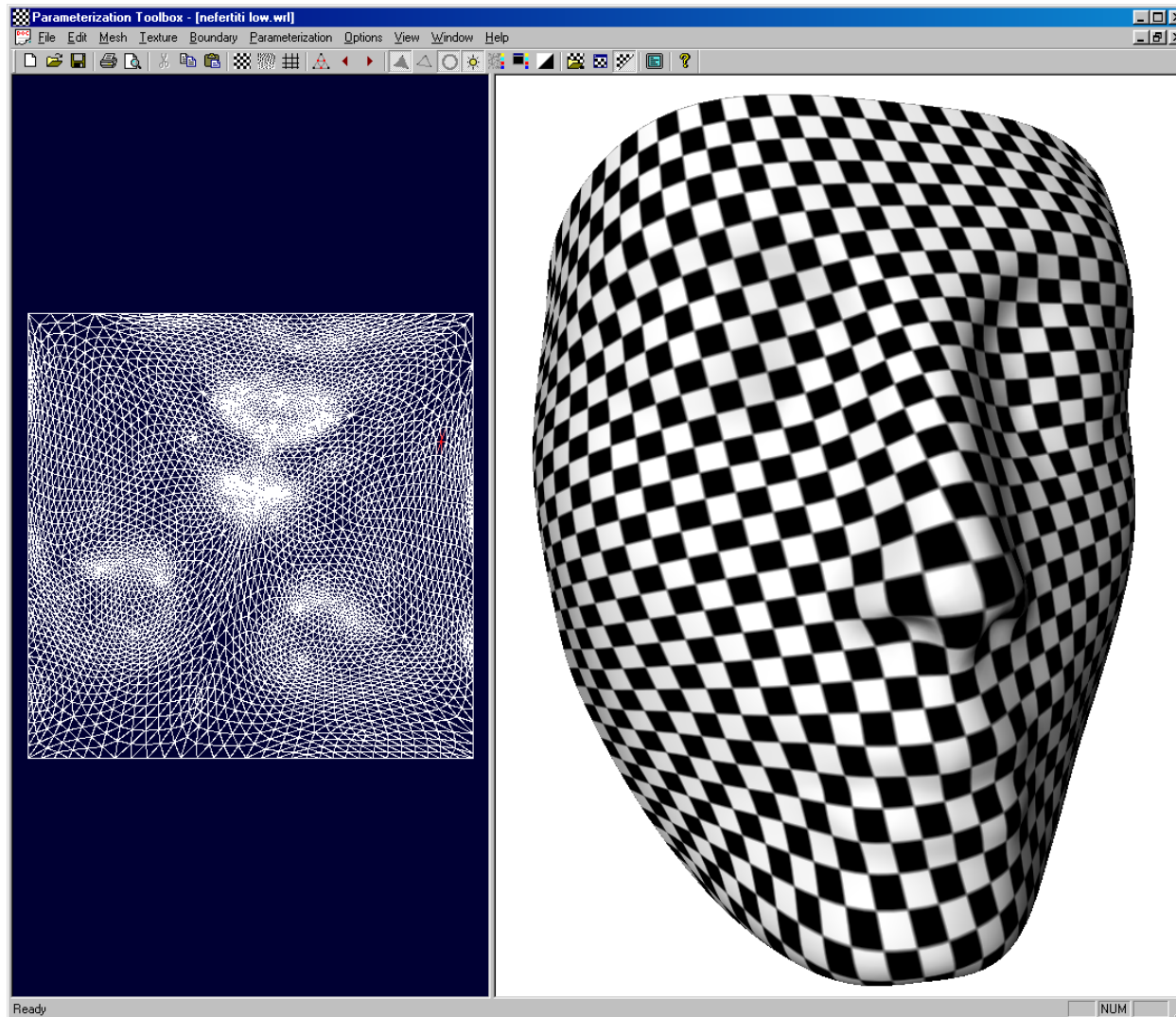
$$u = \begin{cases} \frac{\arccos(x/\sqrt{x^2+y^2})}{2\pi} & \text{si } y > 0 \\ 1 - \frac{\arccos(x/\sqrt{x^2+y^2})}{2\pi} & \text{si } y < 0 \end{cases}$$

$$v = \frac{\arccos(z/r)}{\pi}$$

# *Cyberware*



# Reparamétrisation pour préserver l'aire



Alliez

texture de  $n_x \times n_y$  texels

Tuiles (*tiling*) répétée  $s$  fois

texture d'indice  $(u, v)$

Tiling

$$i = \lfloor (usn_x) \% n_x \rfloor$$

$$j = \lfloor (vsn_y) \% n_y \rfloor$$

Bilinéaire

$$c(u, v) = (1 - u')(1 - v')c_{ij} +$$

$$u'(1 - v')c_{(i+1)j} +$$

$$(1 - u')v'c_{i(j+1)} +$$

$$u'v'c_{(i+1)(j+1)}$$

$$u' = usn_x - \lfloor usn_x \rfloor$$

$$v' = vsn_y - \lfloor vsn_y \rfloor$$

Hermite

$$c(u, v) = (1 - u'')(1 - v'')c_{ij} +$$

$$u''(1 - v'')c_{(i+1)j} +$$

$$(1 - u'')v''c_{i(j+1)} +$$

$$u''v''c_{(i+1)(j+1)}$$

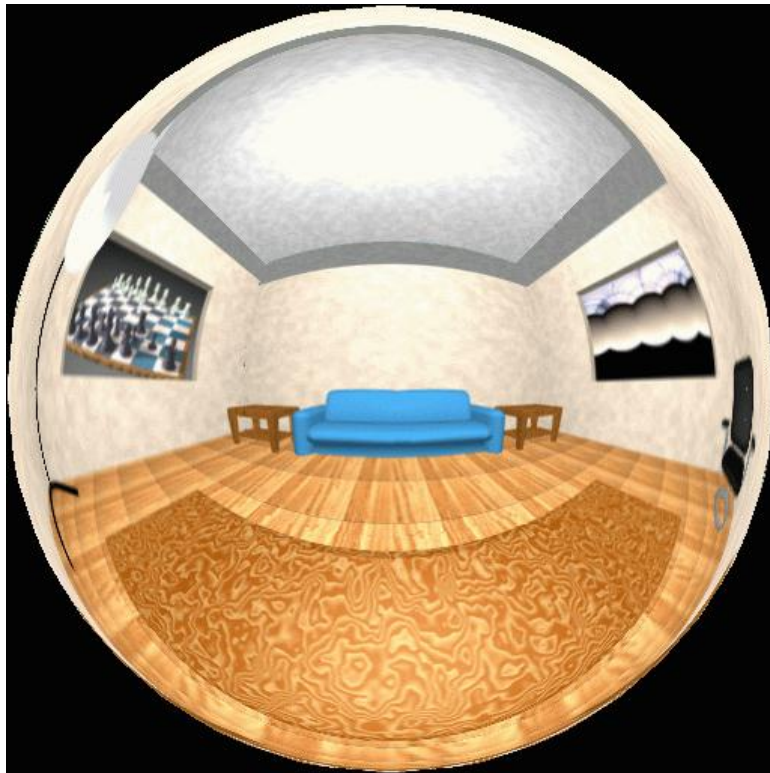
$$u'' = 3(u')^2 - 2(u')^3$$

$$v'' = 3(v')^2 - 2(v')^3$$

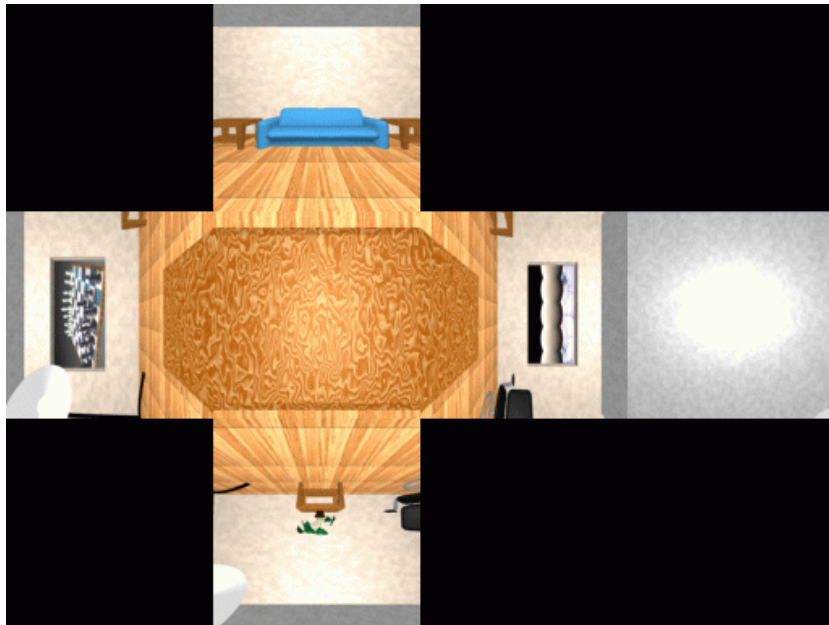
## Texture d'environnement (ou de réflexion)

- Une surface miroir réfléchit son environnement, mais le lancer de rayons est trop coûteux pour espérer du temps réel
- On crée une image de la scène (sans l'objet réfléchissant) sur un objet intermédiaire
  - cube (six projections), sphère, cylindre, etc.
- La direction réfléchie sur la surface est utilisée comme index dans les images de la scène

# Environnement sphérique



# Environnement cubique



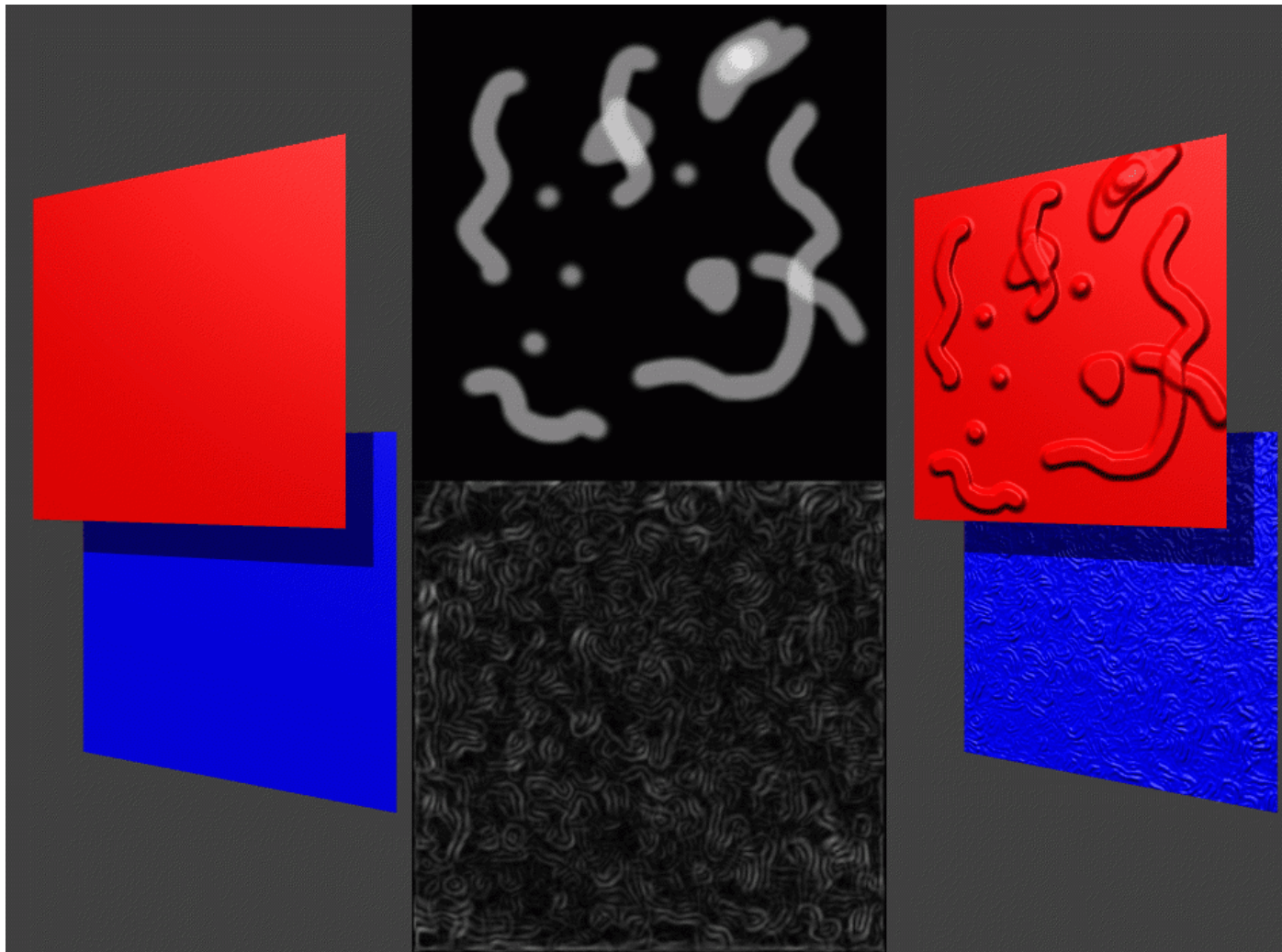
## Texture d'environnement

- Aucune réflexion multiple ou réflexion de l'objet sur lui-même
- Puisque l'image n'est pas formée du même point de vue, les objets près de l'objet miroir seront incorrectement déformés dans l'image finale





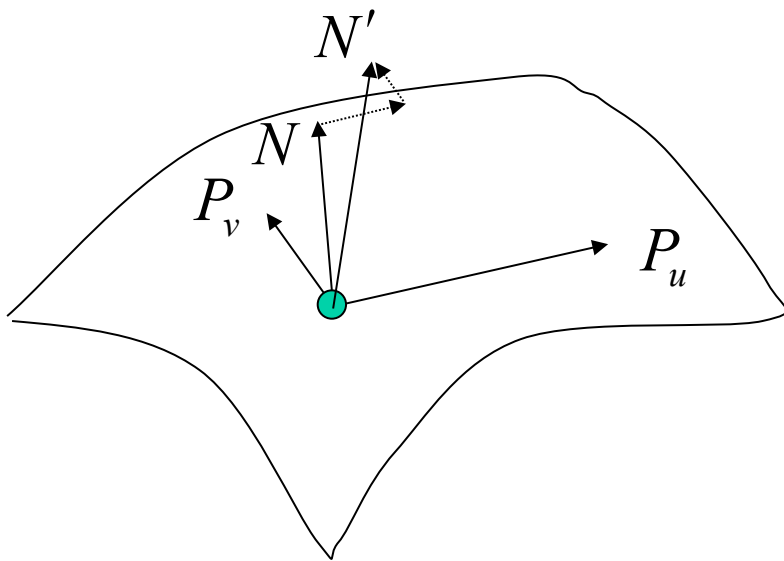
# *Bump map*



Legakis

# Bump map

- La normale à la surface influence grandement l'apparence de la surface lors du calcul d'illumination



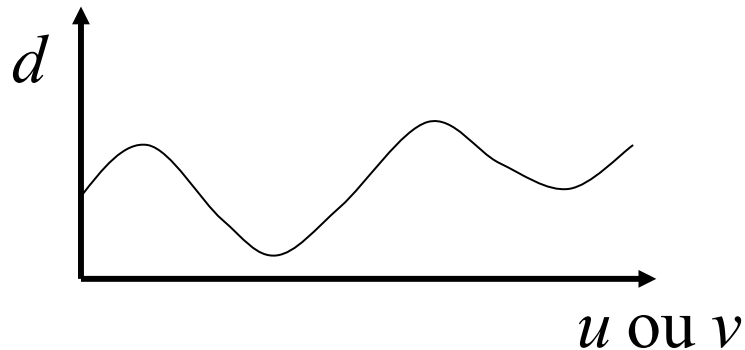
$$N = \frac{P_u \times P_v}{|P_u \times P_v|}$$

$$P_u = \begin{bmatrix} \frac{\partial x}{\partial u} \\ \frac{\partial y}{\partial u} \\ \frac{\partial z}{\partial u} \end{bmatrix}$$

$$P_v = \begin{bmatrix} \frac{\partial x}{\partial v} \\ \frac{\partial y}{\partial v} \\ \frac{\partial z}{\partial v} \end{bmatrix}$$

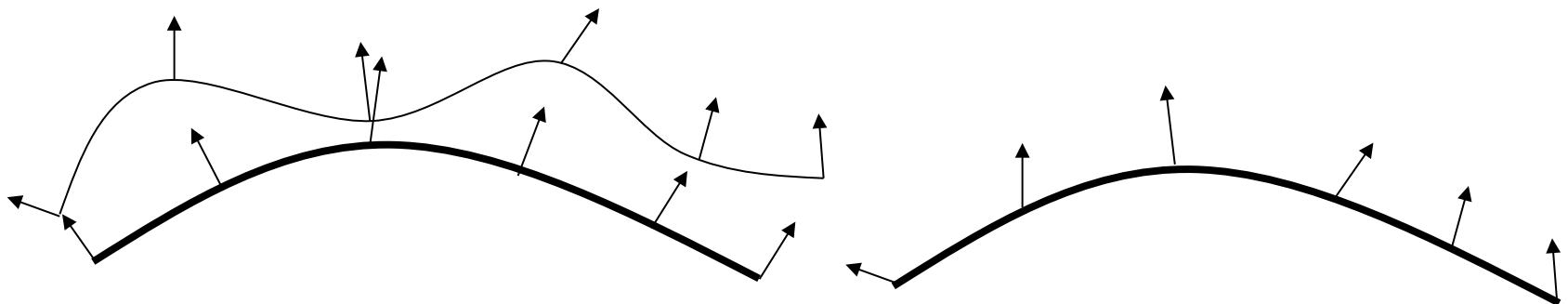
# Bump map

- Soit une fonction  $d(u, v)$  qui perturbe légèrement un point à la surface le long de sa normale



$$P' = P + d(u, v)N$$

$$N' = \frac{P'_u \times P'_v}{|P'_u \times P'_v|}$$



# Bump map

$$P'_u = P_u + \frac{\partial d}{\partial u} N + d(u, v) N_u$$

$$N \times N = 0$$

$$P'_v = P_v + \frac{\partial d}{\partial v} N + d(u, v) N_v$$

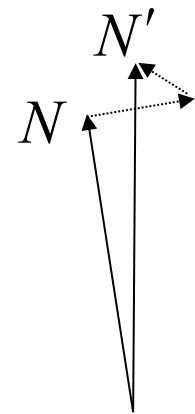
$$|d(u, v)| \ll 1$$

$$N' = (P_u \times P_v) + (P_u \times \frac{\partial d}{\partial v} N) + (P_u \times d(u, v) N_v) +$$

$$(\frac{\partial d}{\partial u} N \times P_v) + (\frac{\partial d}{\partial u} N \times \frac{\partial d}{\partial v} N) + (\frac{\partial d}{\partial u} N \times d(u, v) N_v) +$$

$$(d(u, v) N_u \times P_v) + (d(u, v) N_u \times \frac{\partial d}{\partial v} N) + (d(u, v) N_u \times d(u, v) N_v)$$

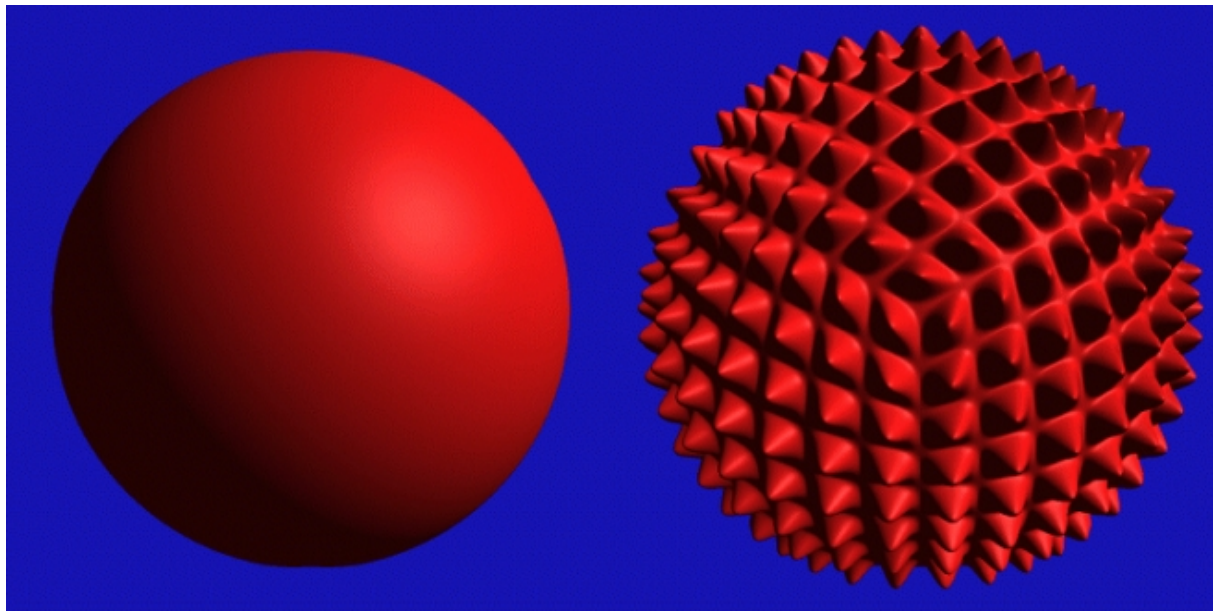
$$N' \approx N + \frac{\partial d}{\partial u} N \times P_v + \frac{\partial d}{\partial v} N \times P_u$$



Précalcul des deux dérivées partielles

# Displacement map

- Déplace la surface d'une distance le long de la normale à la surface
- Polygonise finement la surface
- + Silhouettes et ombres projetées



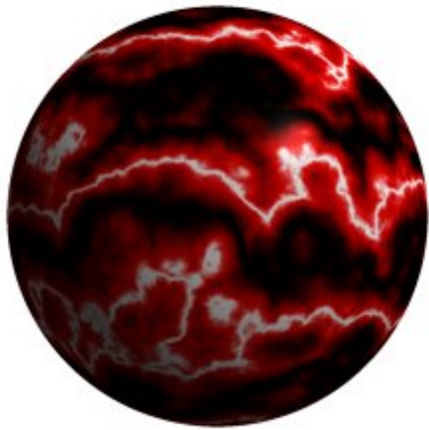
## Problèmes avec le mapping 3D à 2D

- Définition de la fonction de *mapping*
- Conservation des distances entre les éléments de la texture
- Effet de bordure de la texture lorsqu'elle doit être répétée
- Donne une impression de papier peint au lieu de matériel 3D

## Textures 3D (*solid textures*)

- Par défaut, chaque point 3D peut correspondre à un point dans la texture
- Textures
  - table 3D de valeurs discrètes
  - fonction 3D (procédurale) définit une valeur  $UVW$  de texture dans l'espace  $XYZ$
- Surface apparaît comme sculptée dans un matériel
  - marbre, bois, etc.
- Un problème important de ces textures 3D réside dans son filtrage efficace

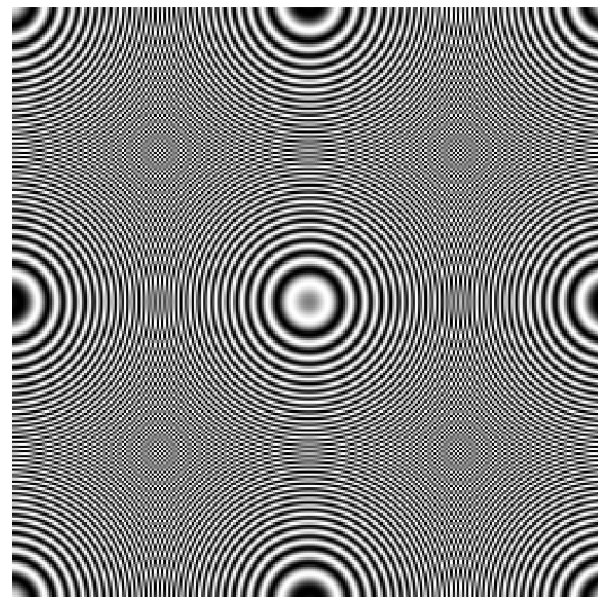
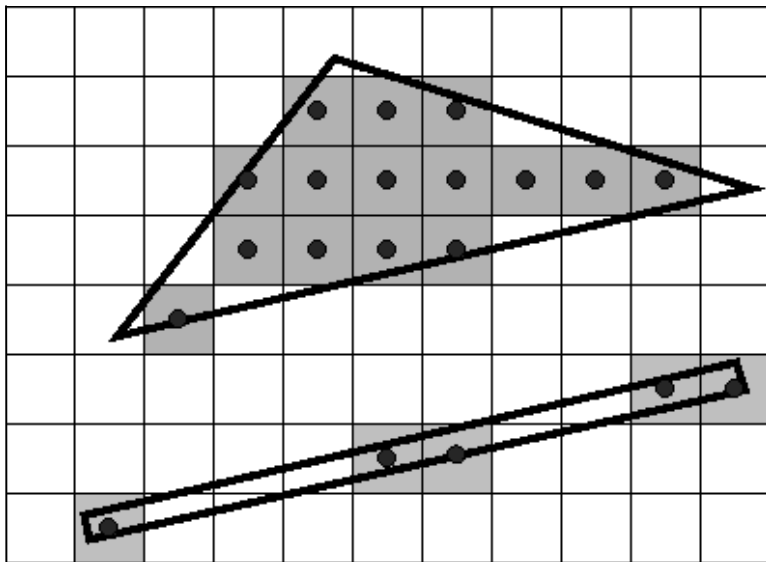
# Textures 3D



# Aliassage

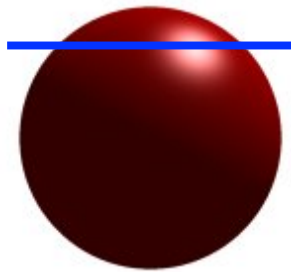
Les effets d'aliassage se présentent sous forme de:

- marches d'escalier (crénelage)
- Moirés (fantômes)

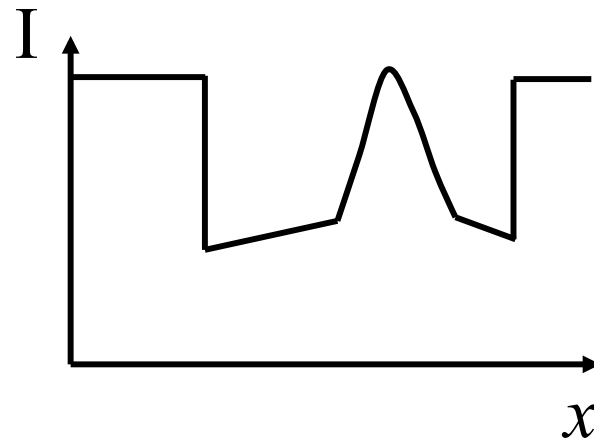


# Signal dans une fenêtre

- Une scène projetée correspond à une variation d'intensité (couleur) dans l'espace (domaine spatial)



ligne d'intensité  
à travers l'image

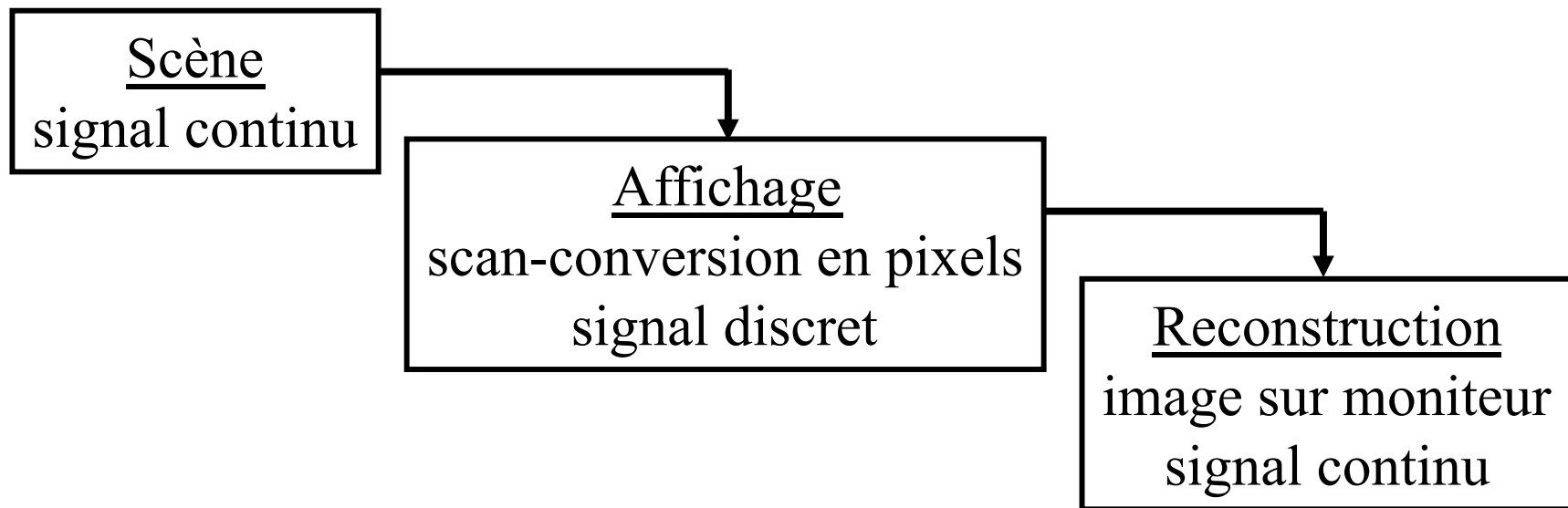


## Signal continu et signal discret

- Une scène projetée est un signal continu
  - Il existe une valeur pour chaque point de l'image
  - Les valeurs varient arbitrairement d'un point au suivant
  - De hautes fréquences apparaissent aux silhouettes, dans les textures, sur l'illumination
- Le balayage (*scan-conversion*) convertit le signal continu de la scène en un signal discret de l'image
  - On prend souvent la valeur au centre du pixel
  - Les variations de valeurs deviennent limitées

# Discrétisation

- En passant d'un signal continu à un signal discret, on perd de l'information
- Le filtrage essaie de choisir les meilleures valeurs pour le signal discret afin de mieux approximer le signal continu original



## Echantillonnage ponctuel

Un seul échantillon au centre de chaque pixel crée de l'aliassage

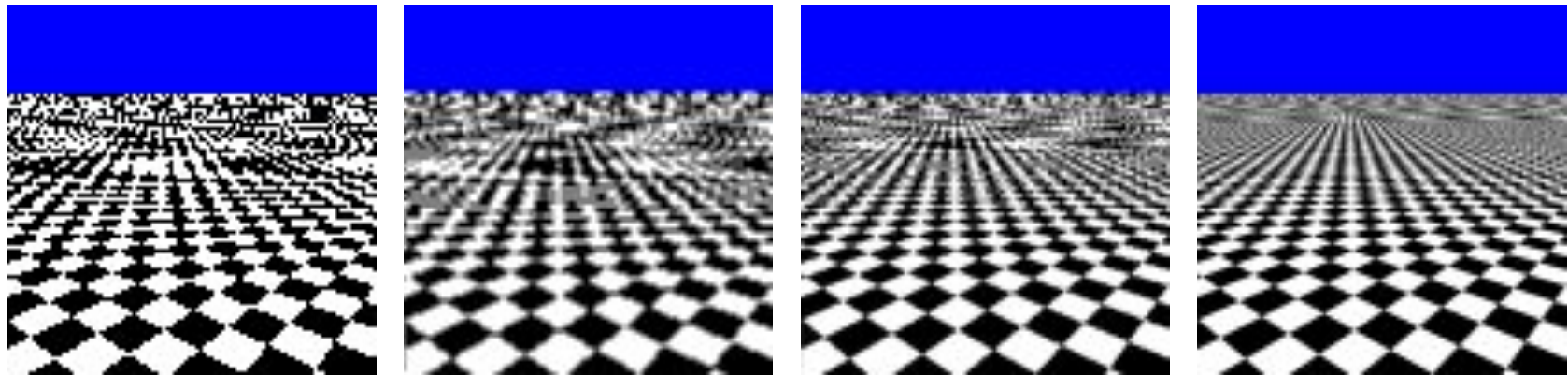
Si on utilise plus d'échantillons, on a

- plus d'information pour mieux représenter le pixel
- des petits sous-pixels pour reconstruire le pixel

ce qui résulte potentiellement en moins d'aliassage

# Sur-échantillonnage

On peut échantillonner régulièrement dans un pixel et pondéré également (filtre boîte) les couleurs des échantillons



1 par pixel

2 par pixel

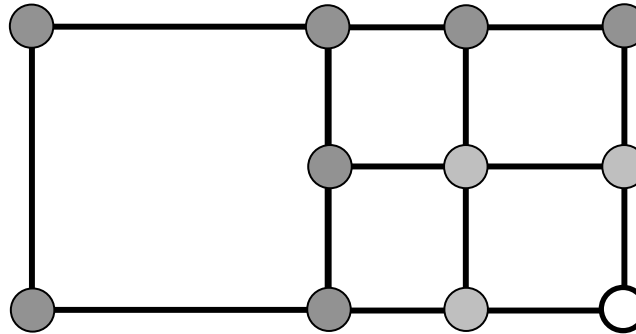
4 par pixel

16 par pixel

Par expérience, un sur-échantillonnage de 4x4 est souvent considéré comme un bon compromis qualité - temps de calcul

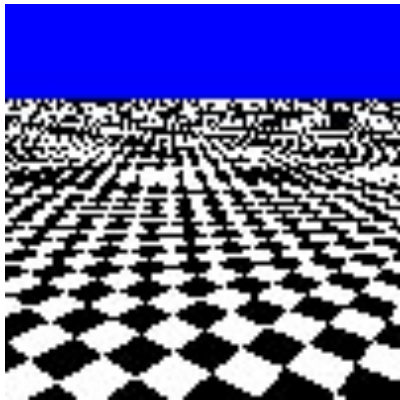
# Echantillonnage adaptatif

On peut aussi subdiviser régulièrement mais adaptativement selon les différences de couleur des échantillons adjacents

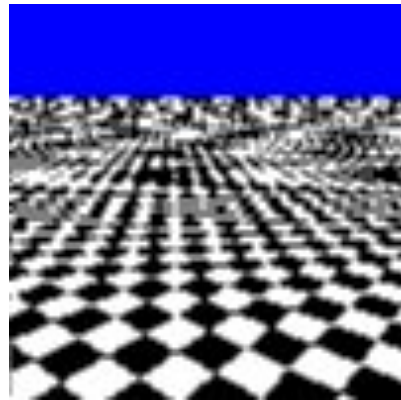


# Echantillonnage adaptatif

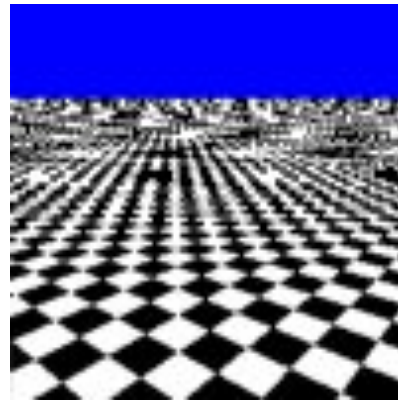
Les nombres minimum et maximum de niveaux de subdivision sont indiqués sous chaque image



min 0  
max 0



min 1  
max 2



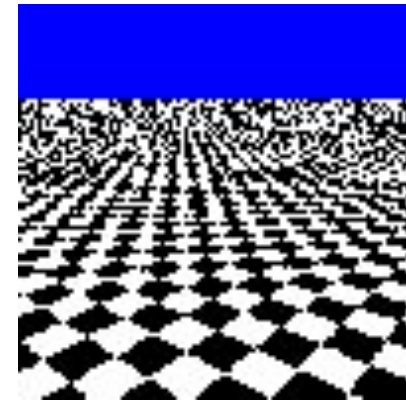
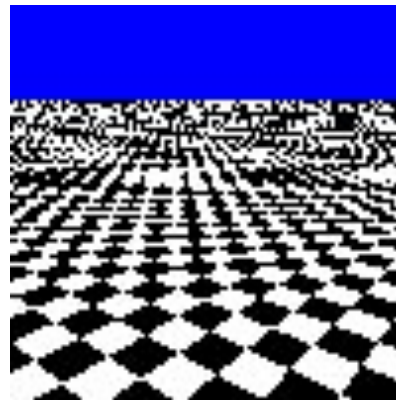
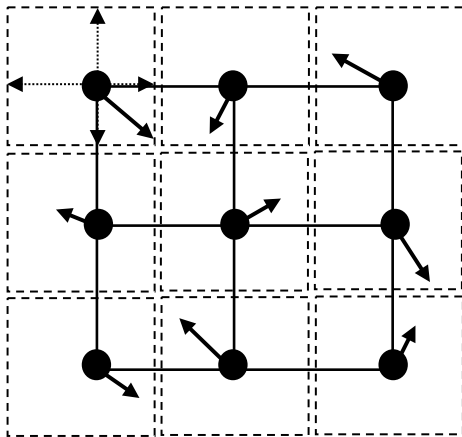
min 1  
max 4



min 2  
max 4

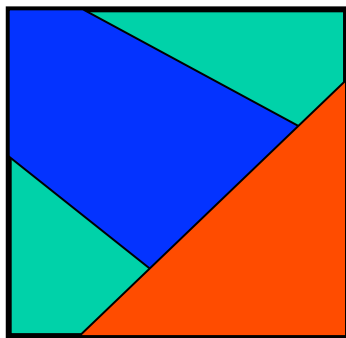
## Perturbations stochastiques (*jittering*)

- Au lieu d'échantillonner régulièrement, on peut perturber aléatoirement (*jitter*) la position de chaque échantillon
- On introduit alors du bruit dans l'image qui remplace en partie l'aliasage



## Echantillonnage d'aire

- La contribution d'une surface dépend de la partie du pixel recouverte par cette surface.
- On intègre la surface dans le domaine (aire) du pixel en divisant par l'aire du pixel
- Ceci correspond à appliquer un filtre boîte sur le pixel
- Un filtre boîte réduit l'aliassage mais en l'élimine pas (analyse de Fourier dans l'espace fréquentiel)



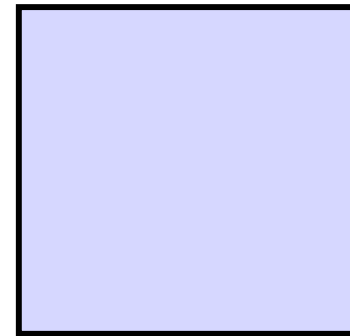
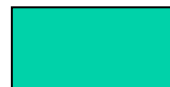
40%



27%

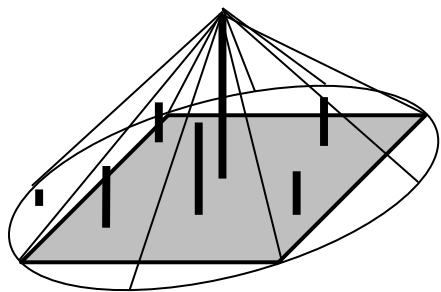


33%

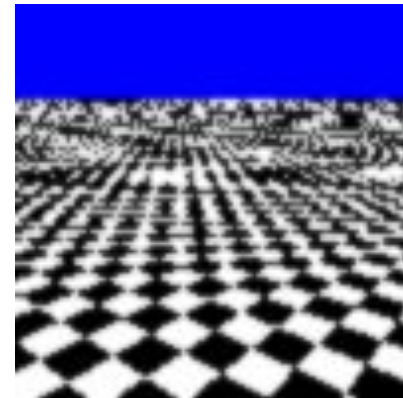
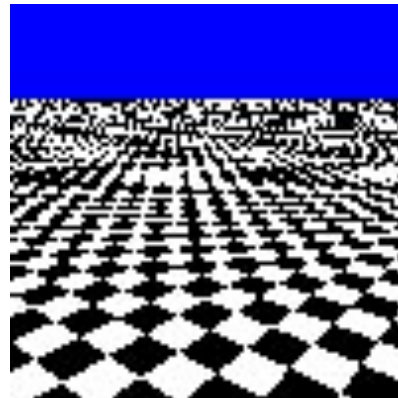


# Filtrage de pixels adjacents

- Si la contribution ne dépend pas de la position à l'intérieur du pixel, il s'agit d'une somme non-pondérée et d'un filtre boîte
- Au lieu de faire la moyenne des couleurs des échantillons, on peut leur donner un poids différent en fonction de leur distance du centre du pixel

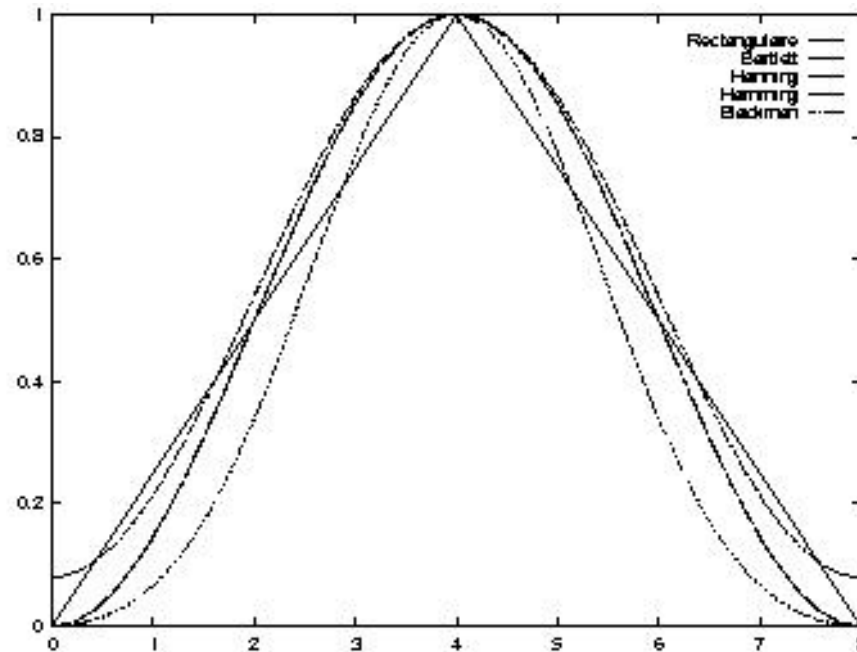


filtre linéaire à  
base circulaire



# Filtres

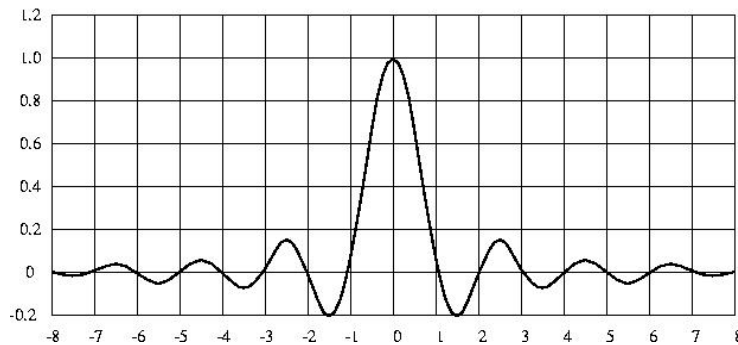
- La pondération dépend de la forme du filtre



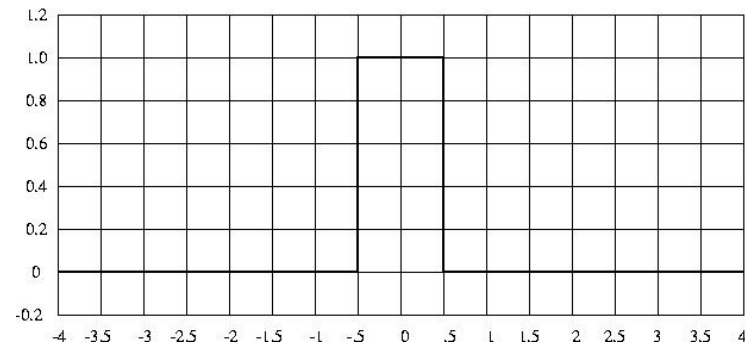
- Un filtre s'étend souvent sur plus d'un pixel

# Filtre idéal

- Le filtre idéal est appelé le  $\text{sinc} = \frac{\sin(\pi x)}{\pi x}$
- Le filtre a la forme suivante



domaine spatial



domaine fréquentiel

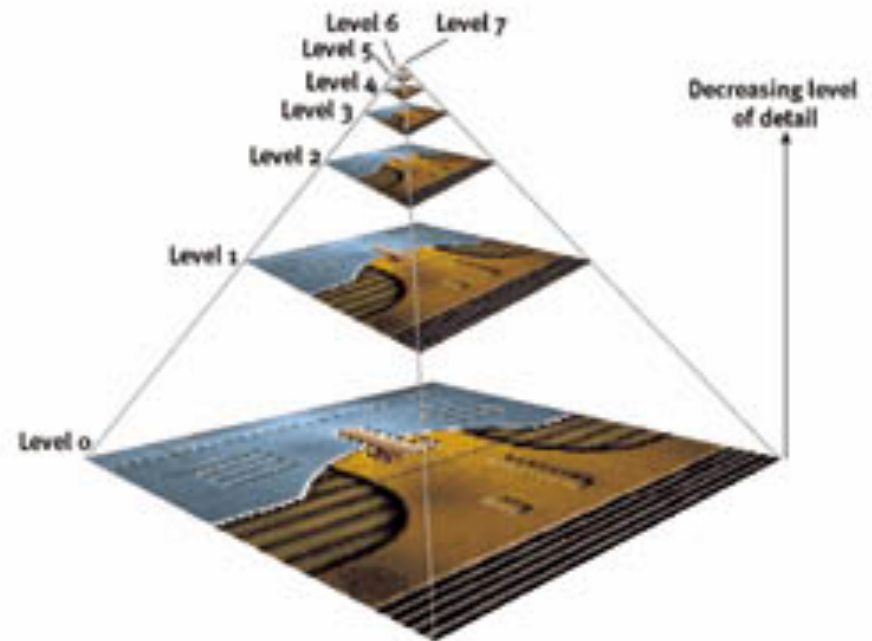
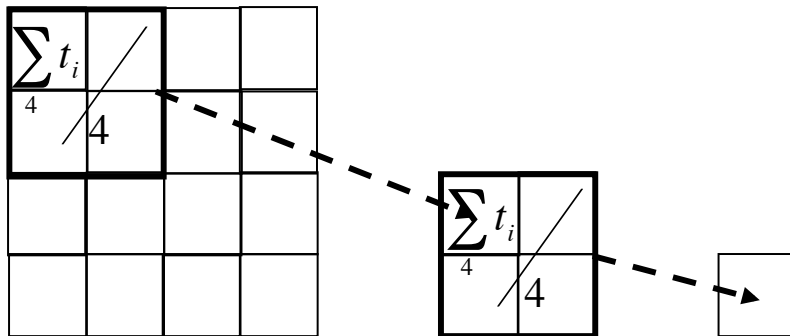
- Malheureusement ce filtre a un support infini

# Préfiltrage

- Il est parfois avantageux de calculer au préalable des valeurs filtrées des textures avant le processus de rendu
  - texture est répétée sur une ou plusieurs surfaces
  - texture est utilisée dans plusieurs images d'une animation
- On risque alors de calculer des valeurs inutilement, mais en général, préfiltrer est avantageux
- Si on incorpore des texels hors du pixel, on substitue du flou au bruit, ce qui est plus désirable

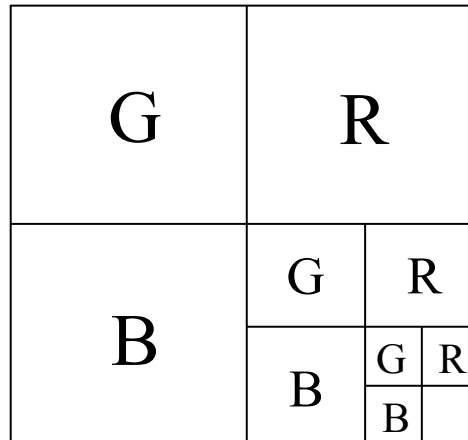
# MIP mapping (multum in parvo)

- Les éléments de la texture sont préfiltrés (moyennés) dans une pyramide



## MIP mapping (multum in parvo)

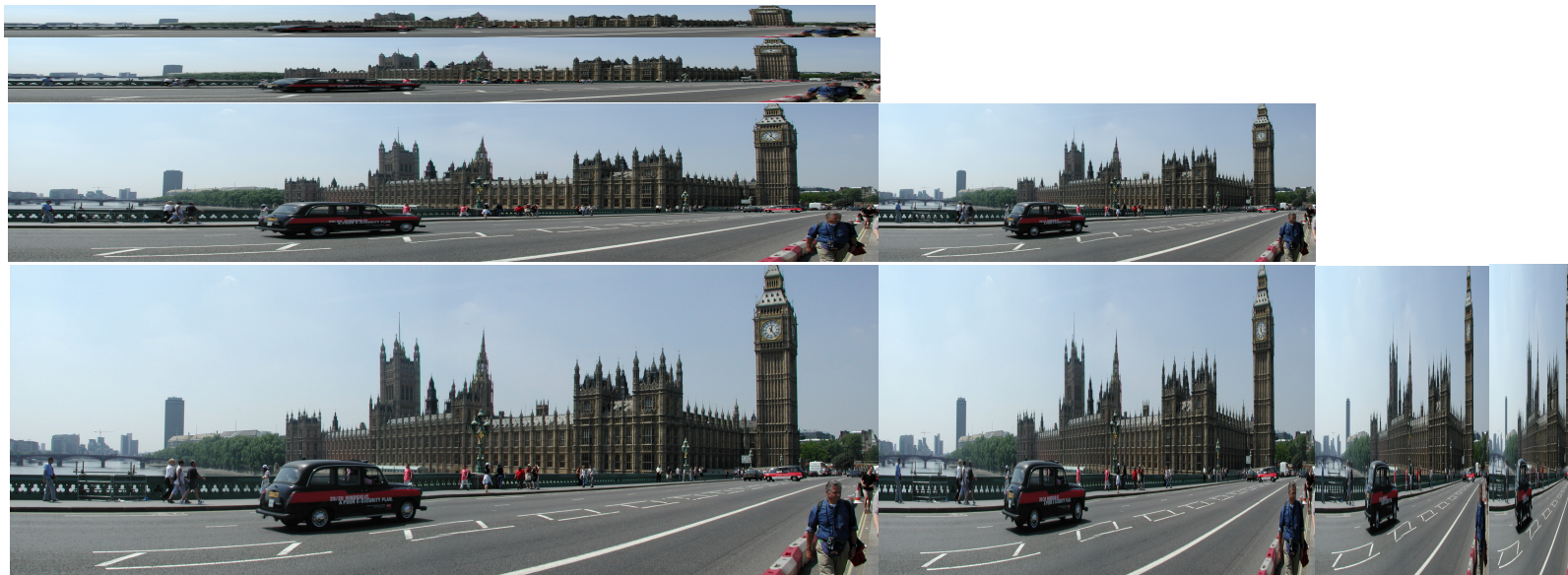
- La texture résulte en 4/3 de sa taille originale
- Lorsque plusieurs texels projettent dans un pixel, le niveau le plus approprié dans la pyramide est choisi
- En hardware sur plusieurs cartes



$$512 \times 512 \times 24 = 1024 \times 1024 \times 8$$

# RIP map

[Haines-Moeller]



## Construction d'une table de sommation

- En mipmap, forme du filtre est carrée
- Un filtre de forme rectangulaire pourrait être souvent plus approprié (quoiqu'aligné sur les axes)

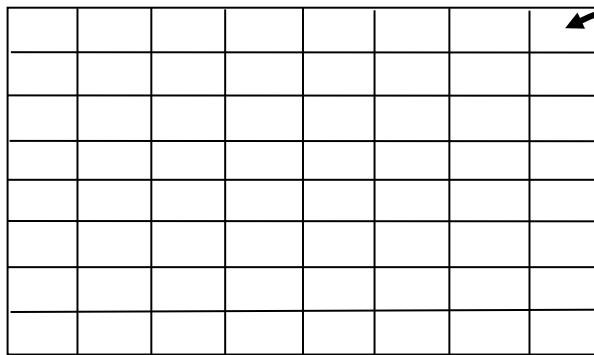
Texture

1	1	1	1
1	1	1	1
1	1	1	1
1	1	1	1

Table de sommation

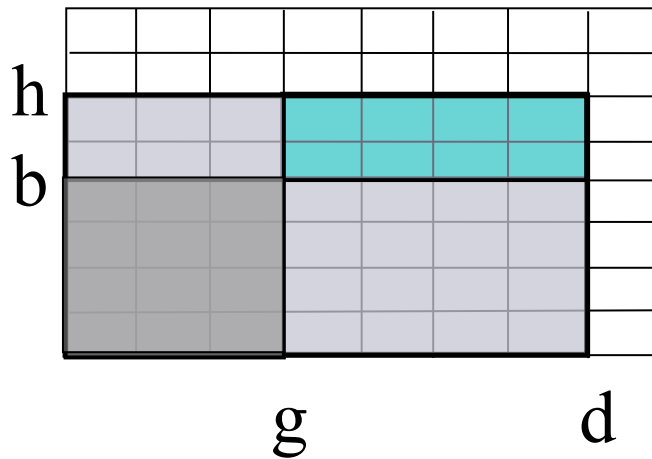
4	8	12	16
3	6	9	12
2	4	6	8
1	2	3	4

# Table de sommation



$$\sum C_{ij}$$

$2^r \times 2^r \times b$  bits :  $2r + b$  bits par pixel



$$C = \frac{C_{dh} - C_{db} - C_{gh} + C_{gb}}{\text{aire du rectangle}}$$



Aucun filtrage



Mip map



Table de sommation